

103090-2862/960

PRINT OF DRAWINGS
AS ORIGINALLY

Murine Skin Graft Survival BALB/c->B6

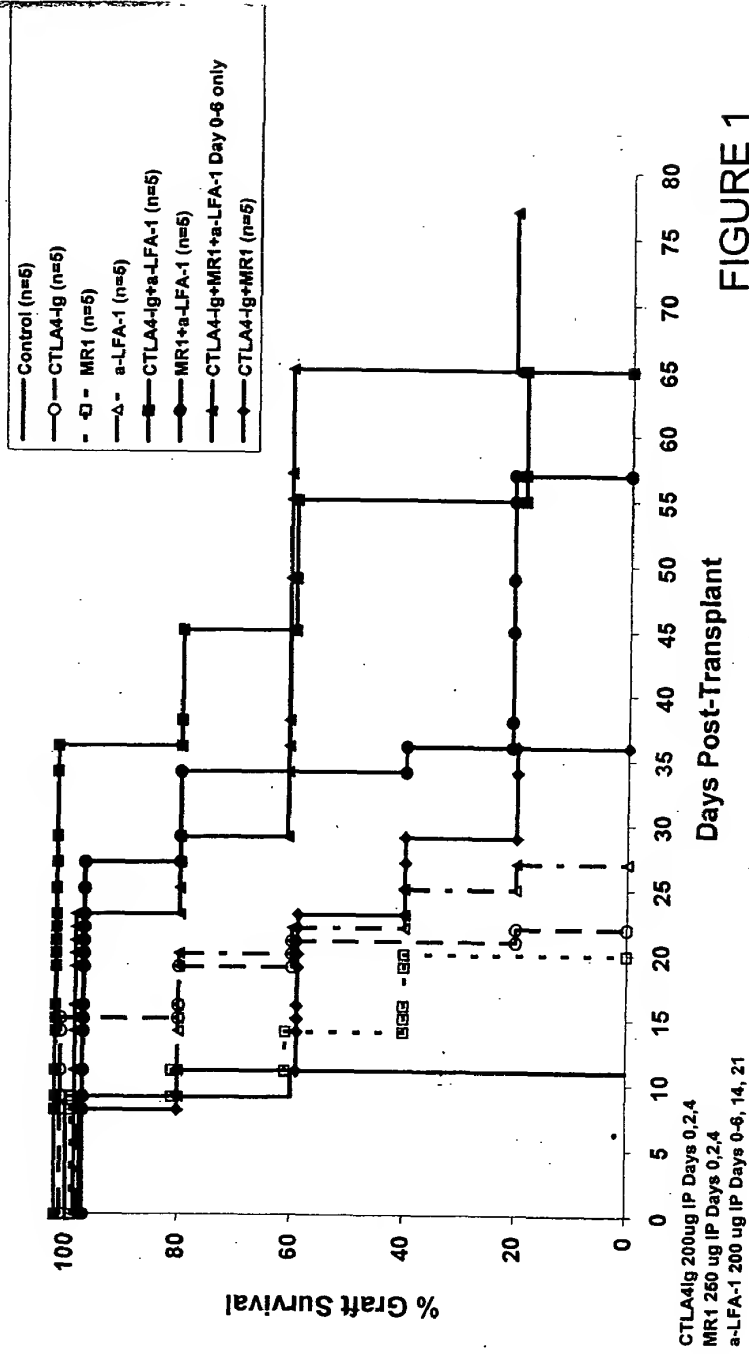


FIGURE 1

Effect of CTLA4-Ig, MR1 and α -LFA-1 on Heart Graft Rejection Rates B6 \rightarrow BALB/c

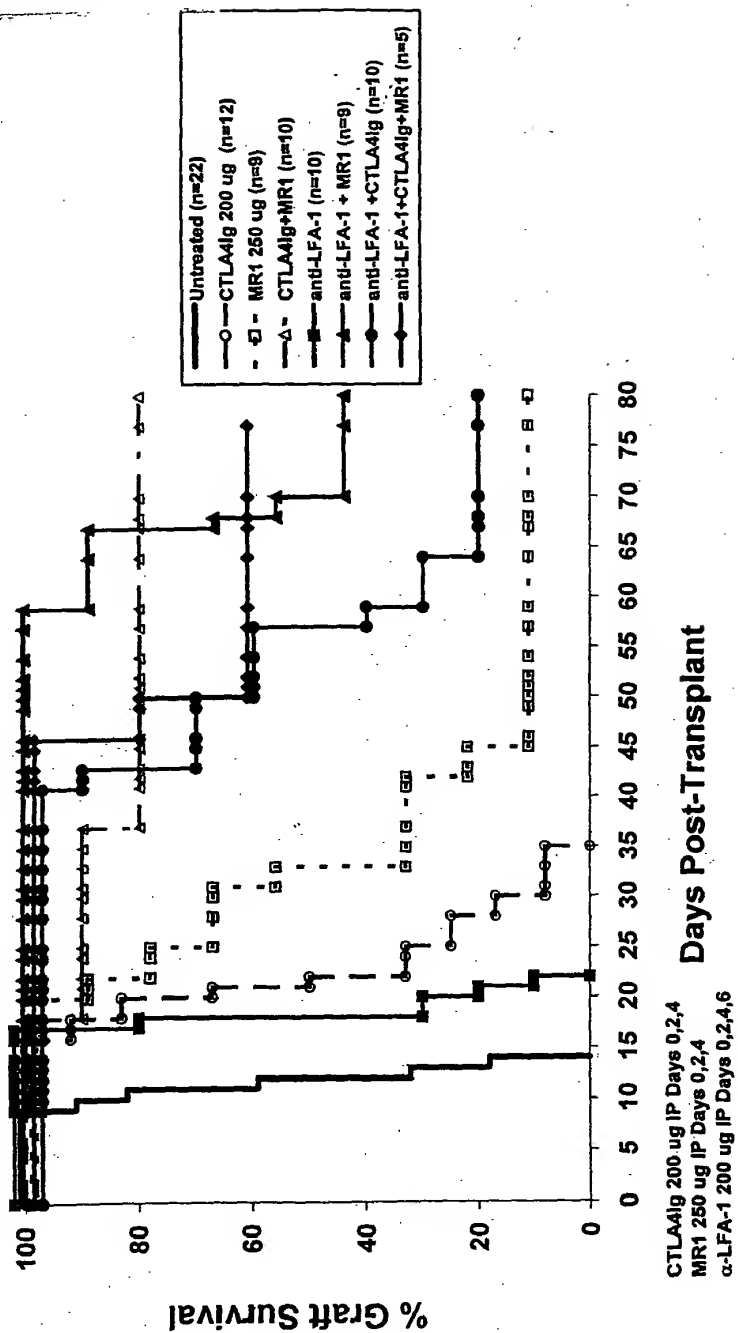
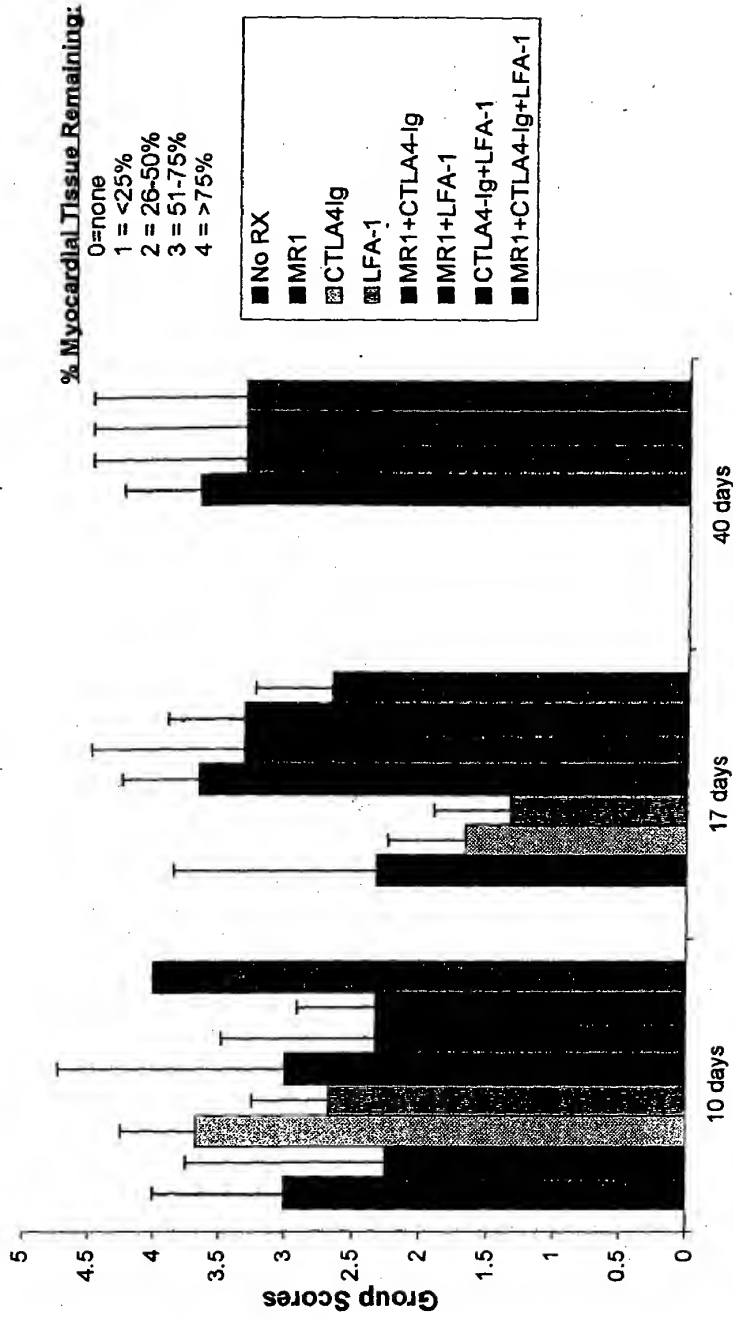


Figure 2

108080-2962980

% Myocardium Remaining: Murine Heterotopic Heart Transplant Model

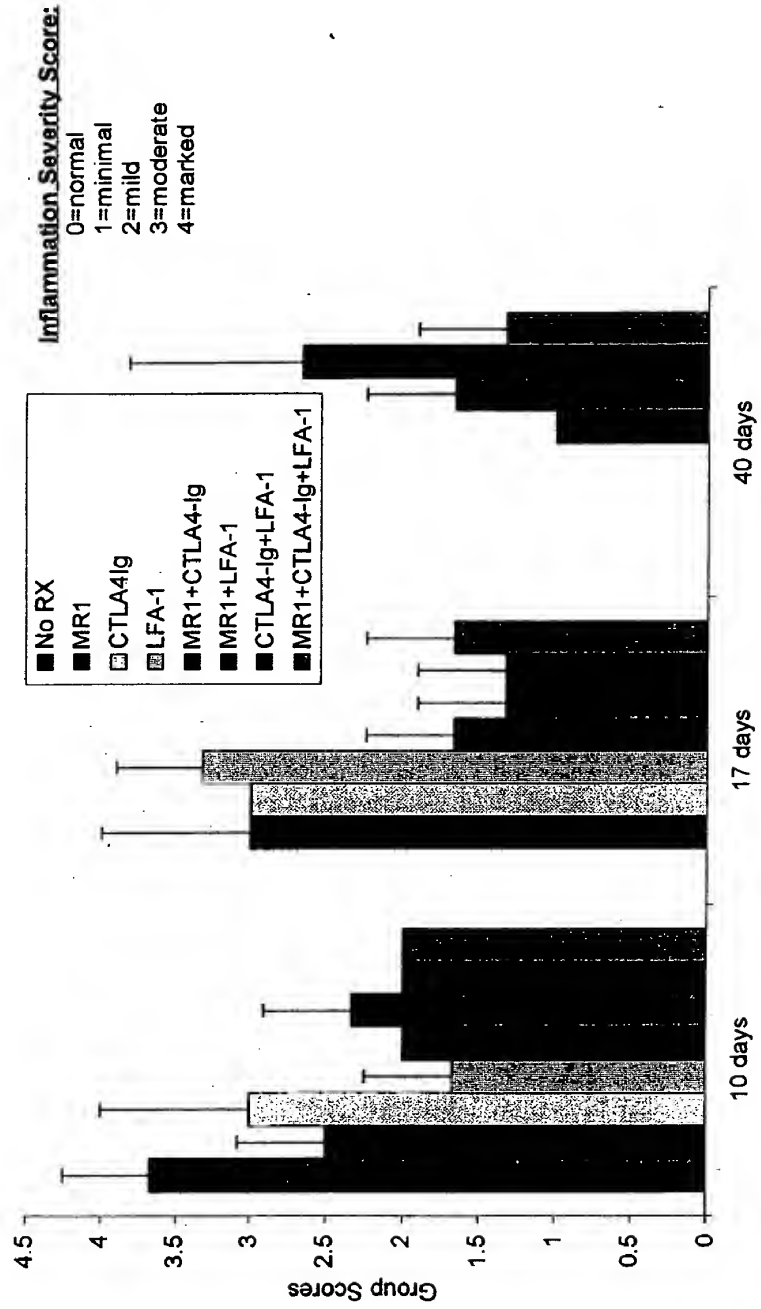
PRINT OF DRAWINGS
AS ORIGINALLY



n=3 for all groups

Figure 3

Inflammation Severity Scores: Murine Heterotropic Heart Transplant Model



n=3 for all groups

Figure 4

PRINT OF DRAWINGS
AS ORIGINALLY

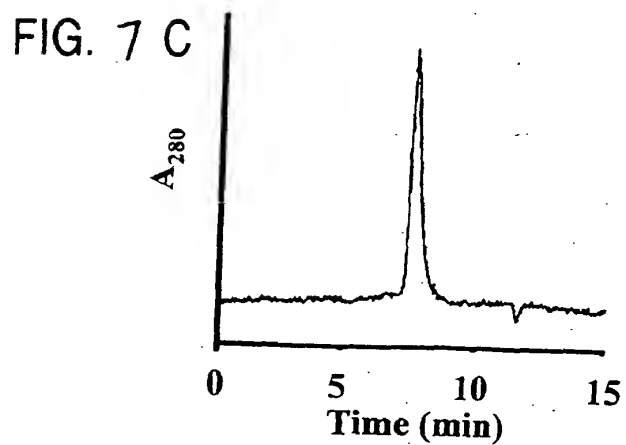
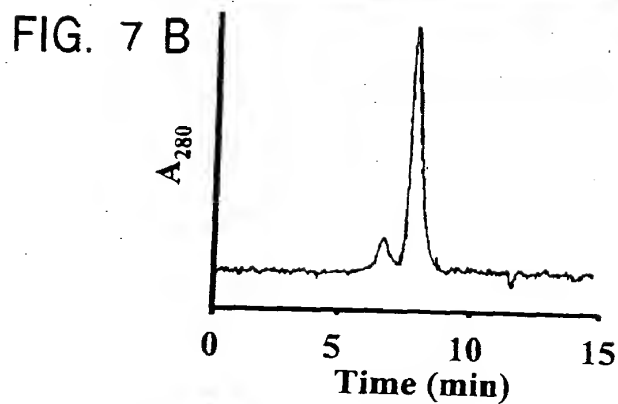
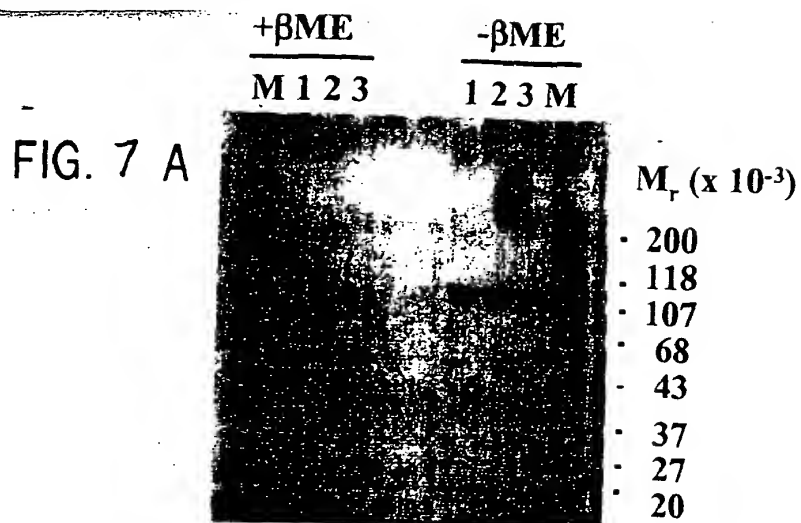
AGCATGGCGAGCATGGCAATGCACTGGCCAGCCTGCTGTGGTACTGGCCAGCAGCCGA -19
 S--M--A--S--M--A--M--H--V--A--Q--P--A--V--V--L--A--S--S--R-- -7
 +1
 GGCATCGCTAGCTTTGTGTGTGAGTATGCATCTCCAGGCAAAGCCACTGAGGTCCGGGTG +102
 G--I--A--S--F--V--C--E--Y--A--S--P--G--K--A--T--E--V--R--V-- +34
 ACAGTGTCTCGGCAGGCTGACAGCCAGGTGACTGAAGTCTGTGCGGCAACCTACATGATG +162
 T--V--L--R--Q--A--D--S--Q--V--T--E--V--C--A--A--T--Y--M--M-- +54
 GGGAAATGAGTTGACCTTCTAGATGATTCATCTGCACGGGCACCTCCAGTGGAAATCAA +222
 G--N--E--L--T--F--L--D--D--S--I--C--T--G--T--S--S--G--N--Q-- +74
 GTGAACCTCACTATCCAAGGACTGAGGGCCATGGACACGGGACTCTACATCTGCAAGGTG +282
 V--N--L--T--I--Q--G--L--R--A--M--D--T--G--L--Y--I--C--K--V-- +94
 GAGCTCATGTACCCACCGCCATACTACCTGGGCATAGGCAACGGAACCCAGATTATGTA +342
 E--L--M--Y--P--P--P--Y--Y--L--G--I--G--N--G--T--Q--I--Y--V-- +114
 ATTGATCCGAACCGTGCCAGATTCTGATCAGGAGCCCAAATCTTCTGACAAACTCAC +402
 I--D--P--E--P--C--P--D--S--D--Q--E--P--K--S--S--D--K--T--H-- +134
 ACATCCCCACCGTCCCCAGCACCTGAACCTCTGGGTGGATCGTCAGTCTTCTCTTCCCC +462
 T--S--P--P--S--P--A--P--E--L--L--G--G--S--S--V--F--L--F--P-- +154
 CCAAAACCAAGGACACCCCTCATGATCTCCCGGACCCCTGAGGTCAATGCGTGGTGGTG +522
 P--K--P--K--D--T--L--M--I--S--R--T--P--E--V--T--C--V--V--V-- +174
 GACGTGAGCCACGAAGACCTGAGGTCAAGTTCAACTGGTACGTGGACGGCGTGGAGGTG +582
 D--V--S--H--E--D--P--E--V--K--F--N--W--Y--V--D--G--V--E--V-- +194
 CATAATGCCAAGACAAAGCCGCGGGAGGAGCAGTACAACAGCACGTACCGGGTGGTCAGC +642
 H--N--A--K--T--K--P--R--E--E--Q--Y--N--S--T--Y--R--V--V--S-- +214
 GTCCTCACCGTCTGACACCAGGACTGGCTGAATGGCAAGGAGTACAAGTCAAGGTCTCC +702
 V--L--T--V--L--H--Q--D--W--L--N--G--K--E--Y--K--C--K--V--S-- +234
 AACAAAGCCCTCCAGCCCCCATCGAGAAAAACATCTCCAAAGCCAAAGGGCAGCCCCGA +762
 N--K--A--L--P--A--P--I--E--K--T--I--S--K--A--K--G--Q--P--R-- +254
 GAACCACAGGTGTACACCTGCCCCCATCCCGGGATGAGCTGACCAAGAACCAGGTGAGC +822
 E--P--Q--V--Y--T--L--P--P--S--R--D--E--L--T--K--N--Q--V--S-- +274
 CTGACCTGCCTGGTCAAAGGCTTCTATCCAGCGACATCGCCGTGGAGTGGGAGAGCAAT +882
 L--T--C--L--V--K--G--P--Y--P--S--D--I--A--V--E--W--E--S--N-- +294
 GGCAGCCGGAGAAACACTACAAGACCAGCCTCCCGTGTGGACTCCGACGGCTCCTTC +942
 G--Q--P--E--N--N--Y--K--T--T--P--P--V--L--D--S--D--G--S--F-- +314
 TTCCTCTACAGCAAGCTCACGTGGACAAGAGCAGGTGGCAGCAGGGGAACGTCTTCTCA +1002
 F--L--Y--S--K--L--T--V--D--K--S--R--W--Q--Q--G--N--V--F--S-- +334
 TGCTCGGTGATGATGAGGCTCTGCACAACCACTACACGAGAAGAGCCTCTCCCTGTCT +1062
 C--S--V--M--H--E--A--L--H--N--H--Y--T--Q--K--S--L--S--L--S-- +354
 CCGGGTAAATGA
 P--G--K--*

FIG. 5

PRINT OF DRAWINGS
AS ORIGINALLY

AGCATGGCGAGCATGGCAATGCACGTGGCCAGCCTGCTGTGGTACTGGCCAGCAGCCGA	+42
S--M--A--S--M--A--M--H--V--A--Q--P--A--V--V--L--A--S--S--R--	+14
+1	
GGCATCGCTAGCTTTGTGTGTGAGTATGCATCTCCAGGCAAATATACTGAGGTCCGGGTG	+102
G--I--A--S--F--V--C--E--Y--A--S--P--G--K--Y--T--E--V--R--V--	+34
ACAGTGCCTTCGGCAGGCTGACAGCCAGGTGACTGAAGTCTGTGCGGCAACCTACATGATG	+162
T--V--L--R--Q--A--D--S--Q--V--T--E--V--C--A--A--T--Y--M--M--	+54
GGGAATGAGTTGACCTTCCTAGATGATTCCATCTGCACGGGCACCTCCAGTGGAAATCAA	+222
G--N--E--L--T--F--L--D--D--S--I--C--T--G--T--S--S--G--N--Q--	+74
GTGAACCTCACTATCCAAGGACTGAGGCCATGGACACGGGACTCTACATCTGCAAGGTG	+282
V--N--L--T--I--Q--G--L--R--A--M--D--T--G--L--Y--I--C--K--V--	+94
GAGCTCATGTATCCACCGCCATACTACGAGGGCATAGGCAACGGAACCCAGATTTATGTA	+342
E--L--M--Y--P--P--P--Y--Y--E--G--I--G--N--G--T--Q--I--Y--V--	+114
ATTGATCCAGAACCGTGCCAGATTCTGATCAGGAGCCCAATCTTCTGACAAACTCAC	+402
I--D--P--E--P--C--P--D--S--D--Q--E--P--K--S--S--D--K--T--H--	+134
ACATCCCCACCGTCCCCAGCACCTGAAGTCTCTGGGGGGATCGTCACTCTTCTCTCCCC	+462
T--S--P--P--S--P--A--P--E--L--L--G--G--S--S--V--F--L--F--P--	+154
CCAAAACCAAGGACACCTCATGATCTCCCGGACCCCTGAGGTACATGCGTGGTGGTG	+522
P--K--P--K--D--T--L--M--I--S--R--T--P--E--V--T--C--V--V--V--	+174
GACGTGAGCCACGAAGACCTGAGGTCAAGTTCAACTGGTACGTGGACGGCGTGGAGGTG	+582
D--V--S--H--E--D--P--E--V--K--F--N--W--Y--V--D--G--V--E--V--	+194
CATAATGCCAAGACAAAGCCGGGAGGAGCAGTACAACAGCACGTACCGTGTGGTCAGC	+642
H--N--A--K--T--K--P--R--E--E--Q--Y--N--S--T--Y--R--V--V--S--	+214
GTCTCTACCGTCTCTGCACCGAGTGGCTGAATGGCAAGGAGTACAAGTGCAAGGTCTCC	+702
V--L--T--V--L--H--Q--D--W--L--N--G--K--E--Y--K--C--K--V--S--	+234
AACAAAGCCCTCCAGCCCCCATCGAGAAAACCATCTCCAAGCCAAGGGCAGCCCCGA	+762
N--K--A--L--P--A--P--I--E--K--T--I--S--K--A--K--G--Q--P--R--	+254
GAACCAAGGTGTACACCTGCCCCCATCCCGGATGAGCTGACCAAGAACCAGGTACGC	+822
E--P--Q--V--Y--T--L--P--P--S--R--D--E--L--T--K--N--Q--V--S--	+274
CTGACCTGCCTGGTCAAAGGCTTCTATCCAGCGACATCGCCGTGGAGTGGGAGAGCAAT	+882
L--T--C--L--V--K--G--F--Y--P--S--D--I--A--V--E--W--E--S--N--	+294
GGGCAGCCGGAGAACAACTACAAGACCAAGCCTCCCGTGTGGACTCCGACGGCTCCTTC	+942
G--Q--P--E--N--N--Y--K--T--T--P--P--V--L--D--S--D--G--S--F--	+314
TTCTCTACAGCAAGCTCACCGTGGACAAGAGCAGGTGGCAGCAGGGGAACGTCTTCTCA	+1002
F--L--Y--S--K--L--T--V--D--K--S--R--W--Q--Q--G--N--V--F--S--	+334
TGCTCCGTGATGCATGAGGCTCTGCACAACCACTACACGCAGAAGACCTCTCCCTGTCT	+1062
C--S--V--M--H--E--A--L--H--N--H--Y--T--Q--K--S--L--S--L--S--	+354
CGGGTAAATGA	
P--G--K--*	

FIG. 6



PRINT OF DRAWING
AS ORIGINALLY F

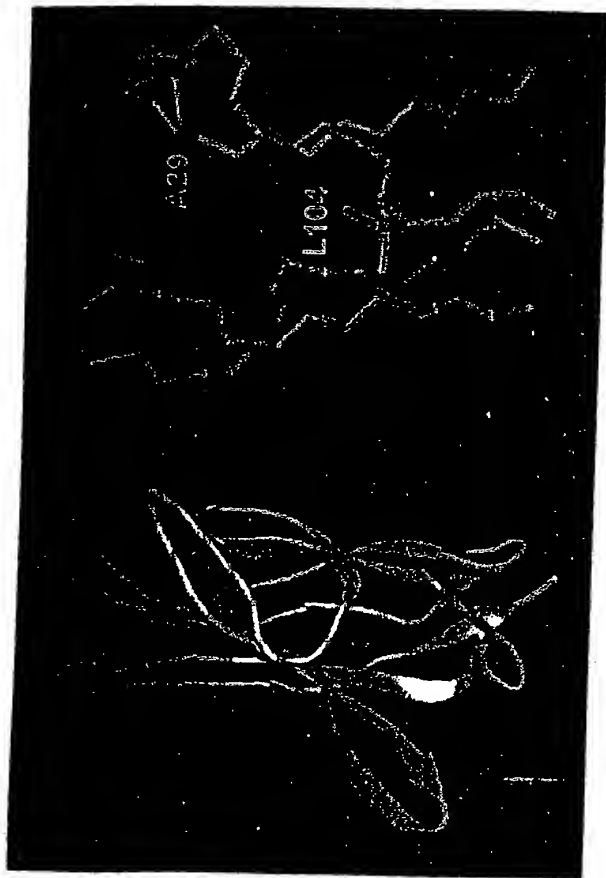


FIG. 8

Human CD80 CHO cells

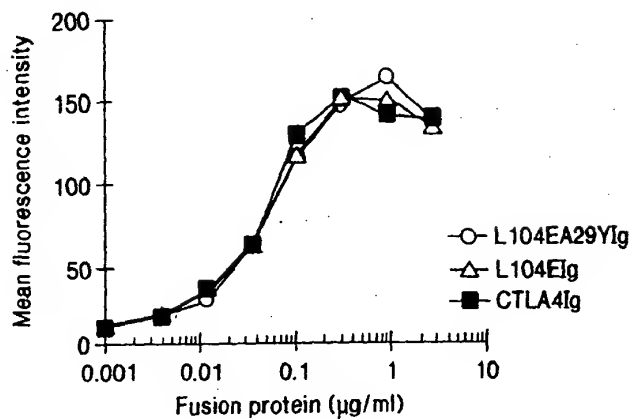


FIG. 9 A

Human CD86 CHO cells

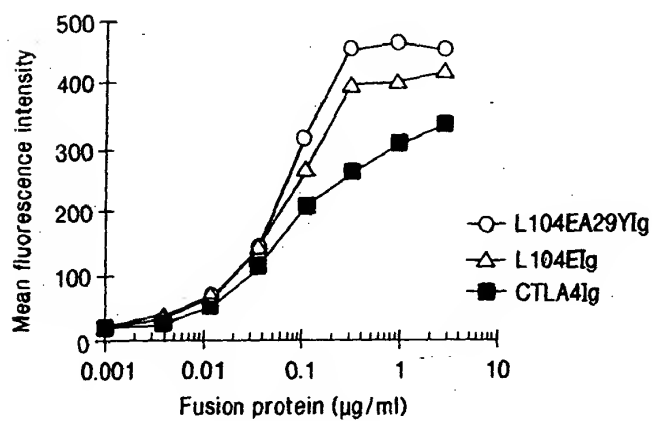


FIG. 9 B

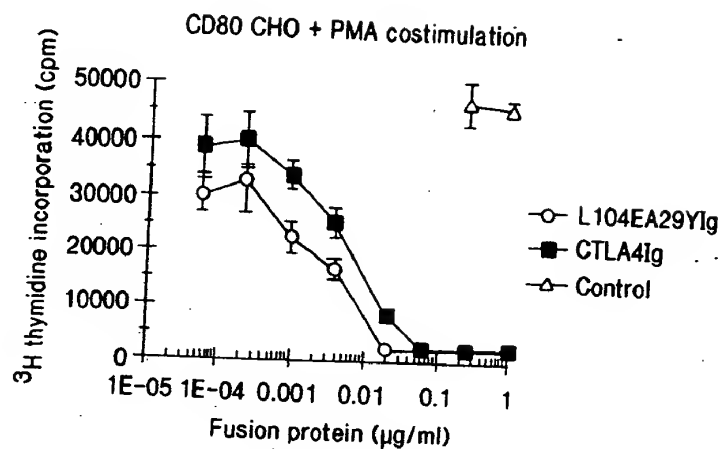


FIG. 10A

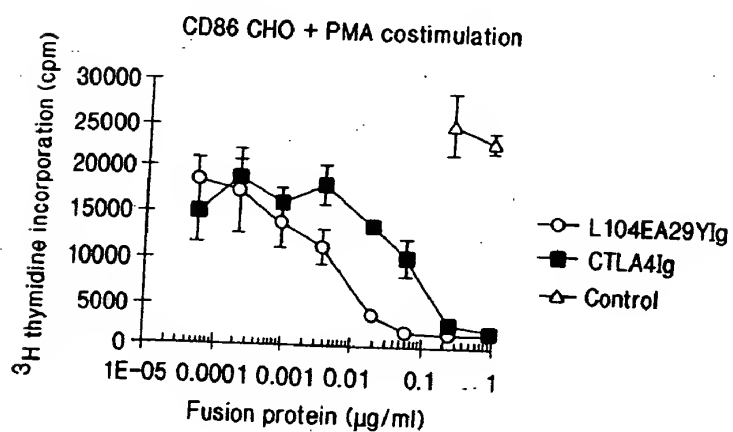


FIG. 10B

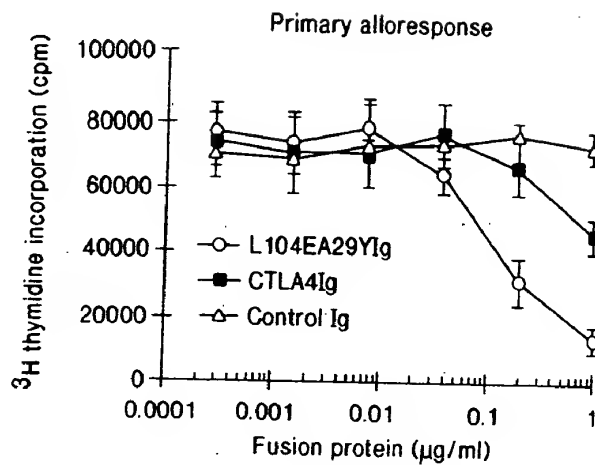


FIG. II A

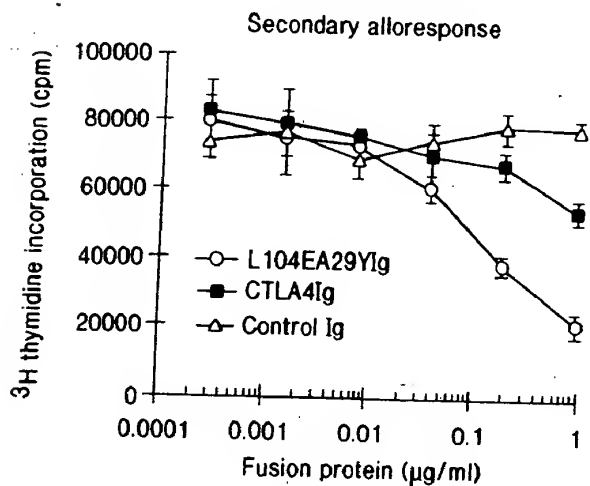


FIG. II B

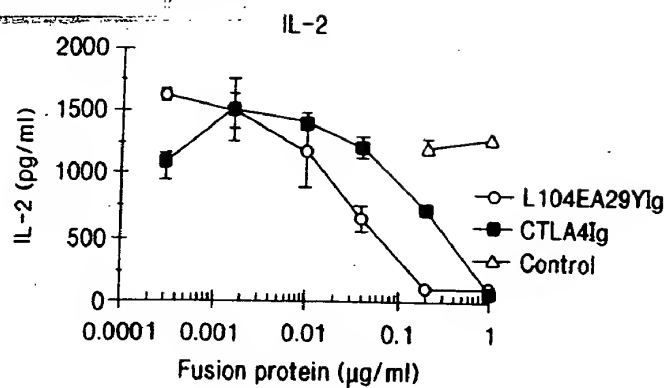


FIG. 12A

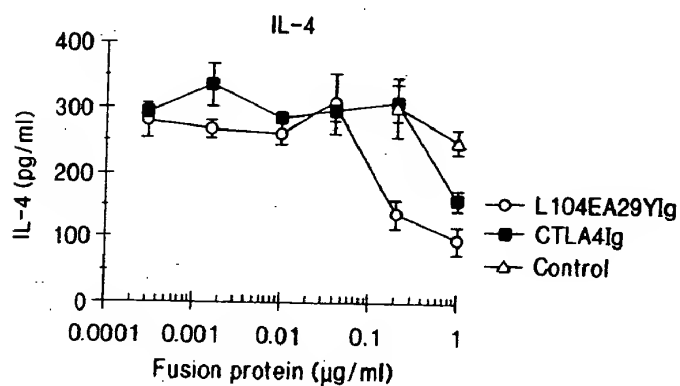


FIG. 12B

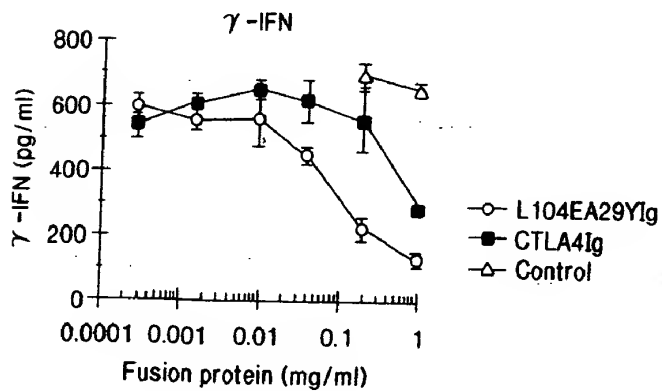


FIG. 12C

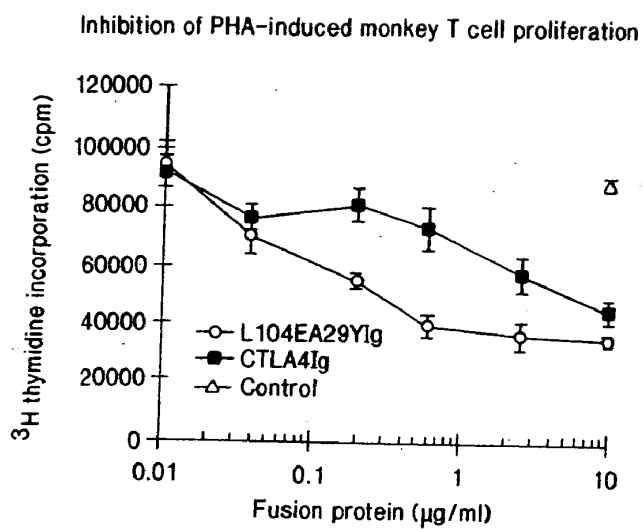


FIG. 13